

## ВЫСОКАЯ ИОННАЯ ПРОВОДИМОСТЬ В СОЕДИНЕНИЯХ $\text{Li}_3\text{Fe}_2(\text{PO}_4)_3$ И $\text{Li}_3\text{Sc}_2(\text{PO}_4)_3$

*Е.А.Генкина, Л.Н.Демьянец, А.К.Иванов-Шиц,  
Б.А.Максимов, О.К.Мельников, В.И.Симонов*

Синтезированы ромбические модификации соединений  $\text{Li}_3\text{Fe}_2(\text{PO}_4)_3$  и  $\text{Li}_3\text{Sc}_2(\text{PO}_4)_3$ . Продуктимость по ионам Li при 600 К достигает в них  $(2 - 5) \cdot 10^{-2} \text{ Ом}^{-1} \cdot \text{см}^{-1}$ , что сопоставимо с лучшими из известных литиевых твердых электролитов. Установлена атомная структура соединения  $\text{Li}_3\text{Fe}_2(\text{PO}_4)_3$ .

Монокристаллы  $\text{Li}_3\text{Fe}_2(\text{PO}_4)_3$  и  $\text{Li}_3\text{Sc}_2(\text{PO}_4)_3$  получены гидротермальным методом в системе  $\text{Li}_2\text{O} - \text{M}^{3+}\text{O}_3 - \text{P}_2\text{O}_5 - \text{H}_2\text{O}$  ( $\text{M} = \text{Fe}, \text{Sc}$ ) при давлении 1 кбар по стандартной методике температурного перепада с температурой в зоне растворения 520 – 720 К.

В системе  $\text{Li}_3\text{Fe}_2(\text{PO}_4)_3 - \text{Li}_3\text{Sc}_2(\text{PO}_4)_3$  методом твердофазного синтеза установлен неограниченный изоморфизм – возможность полного замещения атомов Fe атомами Sc без изменения структуры соединения. Введение в эту структуру других трехвалентных металлов, в частности, редкоземельных, приводило к образованию двухфазного продукта с узкой областью гомогенности –  $\text{Li}_3(\text{Fe}^{3+}, \text{TR}^{3+})_2(\text{PO}_4)_3$ . Для измерений электропровод-

ности из синтезированного порошка пресовались и отжигались таблетки диаметром 5–7 мм, плотность которых достигала ~ 90% от теоретической.

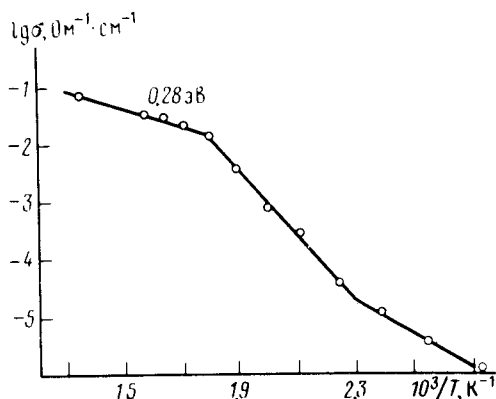


Рис. 1. Температурная зависимость проводимости для  $\text{Li}_3\text{Fe}_2(\text{PO}_4)_3$

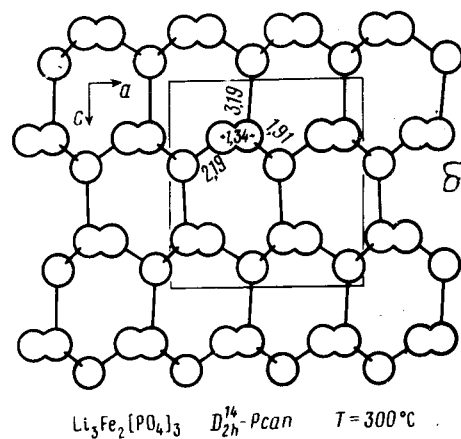
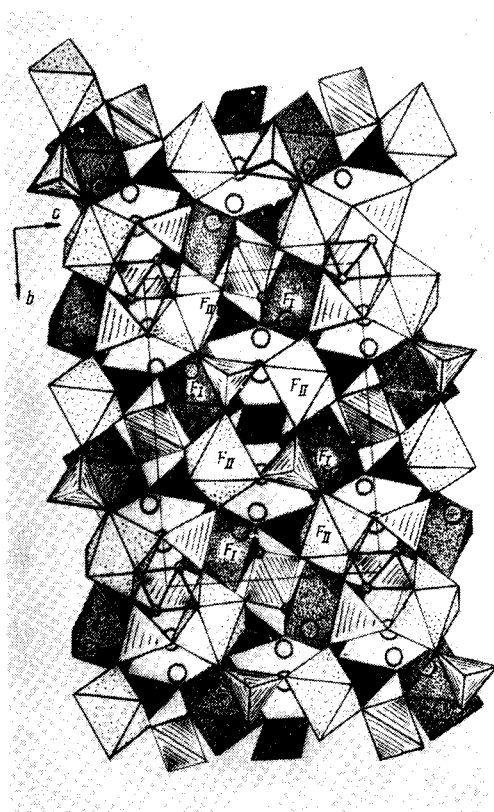


Рис. 2. Кристаллическая структура  $\text{Li}_3\text{Fe}_2(\text{PO}_4)_3$ :  
а – фрагмент трехмерного каркаса из  $\text{PO}_4$ -тетраэдров и  $\text{FeO}_6$ -октаэдров; б – схема взаимного расположения ионов  $\text{Li}^+$  в структуре при 573 К

Определение объемного сопротивления соединения  $\text{Li}_3\text{Fe}_2(\text{PO}_4)_3$  проводилось из анализа частотной зависимости импеданса. Температурный ход проводимости воспроизведен на рис. 1. Кривая  $1g \sigma$  от  $1/T$  имеет два излома при  $T \sim 560$  и  $T \sim 450\text{K}$ . Изменение энергии активации  $E_\sigma$ , отвечающее более низкой температуре, можно объяснить наличием области "несобственной" проводимости <sup>1</sup>. Уменьшение  $E_\sigma$  при температуре выше 560 К естественно связать с фазовым переходом, который аналогичен переходам в  $\text{Na}_3\text{Zr}_2\text{Si}_2\text{PO}_1_2$  и  $\text{Na}_3\text{Sc}_2(\text{PO}_4)_3$  <sup>2</sup>.

При 600 К проводимость синтезированных соединений достигает  $(2-5) \cdot 10^{-2} \text{ Ом}^{-1} \cdot \text{см}^{-1}$ , что ставит их в ряд с лучшими Li-проводящими твердыми электролитами  $\text{Li}_3\text{N}$ ,  $\text{Li}_{1.4}\text{Zn}[\text{GeO}_4]_4$ . Оценки электронной составляющей проводимости  $\sigma_{3\text{L}}$  показывают, что при 600 К она составляет  $10^{-5} \text{ Ом}^{-1} \cdot \text{см}^{-1}$ . Таким образом, проводимость в соединениях  $\text{Li}_3\text{Fe}_2(\text{PO}_4)_3$  и  $\text{Li}_3\text{Sc}_2(\text{PO}_4)_3$  носит ионный характер, а изложенные ниже результаты структурных исследований показывают, что обусловлена она подвижностью ионов Li.

Для рентгеноструктурных исследований использовался игольчатый монокристалл  $\text{Li}_3\text{Fe}_2(\text{PO}_4)_3$  размерами  $0,05 \times 0,06 \times 0,2 \text{ мм}^3$ . Рентгеновская дифракционная картина выявила ромбическую симметрию кристалла — лаузевский класс  $m m m$  — с размерами элементарной ячейки  $a = 8,572(2)$ ,  $b = 12,052(3)$ ,  $c = 8,599(3) \text{ \AA}$ . Измерения интегральных интенсивностей дифракционных отражений выполнены на автоматическом рентгеновском дифрактометре CAD-4F: Mo( $K_{\alpha}$ )-излучение, графитовый монохроматор, шаговое сканирование,  $\omega$ -метод,  $\sin \theta / \lambda \leq 0,8 \text{ \AA}^{-1}$ , линейный коэффициент поглощения  $\mu = 34,4 \text{ см}^{-1}$ . Эксперимент проводился при двух температурах: 295 К и в состоянии с высокой проводимостью при 573 К. Низкотемпературная модификация характеризуется пространственной группой  $P22_12_1$ , а высокотемпературная — группой  $R\bar{3}c$ . Структура построена из  $[\text{PO}]_4$  тетраэдров и  $[\text{FeO}]_6$ -октаэдров, которые соединяясь вершинами, образуют трехмерный каркас. На рис. 2, а представлена одна из проекций структуры. В полостях каркаса размещаются однозарядные ионы Li. При  $T = 300^\circ\text{C}$  из трех кристаллографически независимых позиций атомов Li в структуре только одно заселено на 100%. Два других заполняются литием с вероятностью 1/4, что характерно для ионных проводников. На рис. 2, б дана схема размещения атомов Li в плоскостях, параллельных грани  $ac$  элементарной ячейки кристалла ( $T = 300^\circ\text{C}$ ). Взаимное расположение атомов Li указывает на весьма вероятную и существенную анизотропию проводимости. При этом максимальную проводимость следует ожидать в направлении оси  $a$  элементарной ячейки кристалла.

Формульным аналогом соединения  $\text{Li}_3\text{Fe}_2(\text{PO}_4)_3$  можно считать  $\text{Na}_3\text{Fe}_2(\text{PO}_4)_3$ <sup>3</sup>, структура которого даже по архитектуре каркаса отличается от полученной нами модели структуры  $\text{Li}_3\text{Fe}_2(\text{PO}_4)_3$ . В работе<sup>3</sup> есть указание и на синтез соединения  $\text{Li}_3\text{Fe}_2(\text{PO}_4)_3$ , которое характеризуется ромбоэдрической симметрией  $R\bar{3}c$  или  $R\bar{3}c$ . Сопоставление наших данных с результатами работы<sup>3</sup> позволяет утверждать, что получена новая ромбическая модификация соединения  $\text{Li}_3\text{Fe}_2(\text{PO}_4)_3$ .

Все вычисления по определению и уточнению структуры выполнены на ЭВМ с использованием программ "Рентген"<sup>4</sup>.

## Литература

1. *Lidyard A.* Ionic conductivity. Handbuch der Physik, Band XX, Teil II, 1957, Berlin, s. 246; *Лидъядр А.* Ионная проводимость кристаллов. М.: ИИЛ, 1962.
2. *Калинин В.Б., Лазоряк Б.И., Стефанович С.Ю.* Кристаллография, 1983, 28, 264.
3. *Pintard-Screpel M., d'Yvoire F., Remy F.* C.R.Acad. Sci. Paris. 1978, 286, ser. C, 381.
4. *Андреанов В.И., Сафина З.Ш., Тарнопольский Б.Л.* Ж. структурной химии, 1974, 15, 911.

Поступила в редакцию

7 июня 1983 г.

После переработки

27 июля 1983 г.